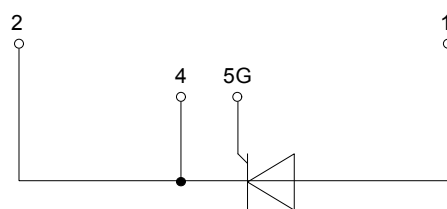
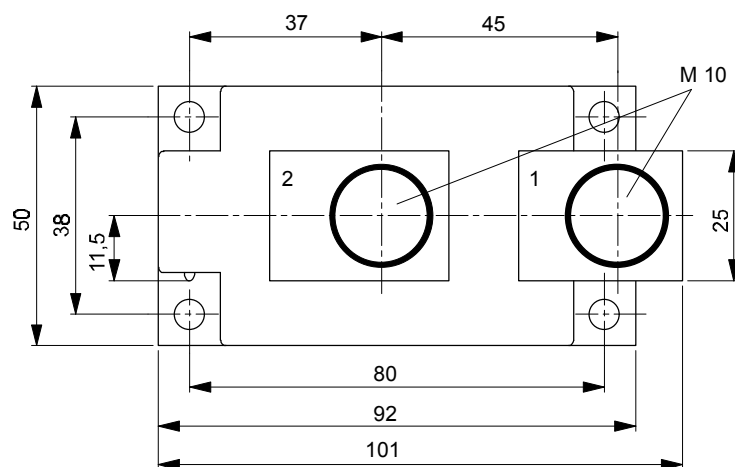
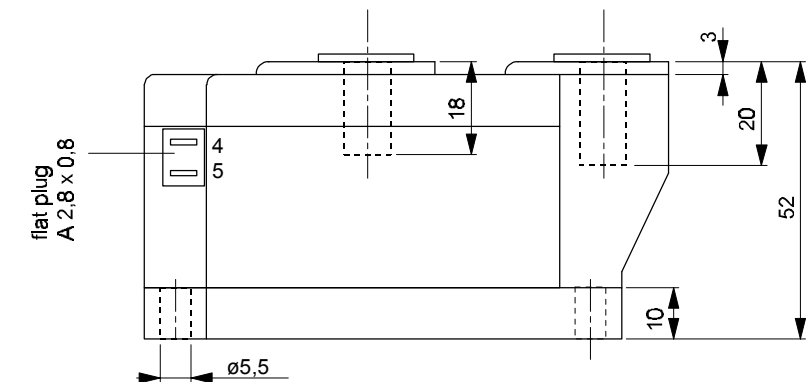




European Power-
Semiconductor and
Electronics Company

Marketing Information TZ 335 F



TZ 335 F

Elektrische Eigenschaften		Electrical properties			
Höchstzulässige Werte		Maximum rated values			
Periodische Vorwärts-Rückwärts-Spitzenperrspannung	und repetitive peak forward off-state	$t_{vj} = -40^\circ\text{C} \dots t_{vj \max}$		V_{DRM}, V_{RRM}	800, 1000, 1100, 1200, 1300 V ¹⁾
Vorwärts-Stoßspitzenperrspannung	and reverse voltages			V_{DSM}	800, 1000, 1100, 1200, 1300 V
Rückwärts-Stoßspitzenperrspannung	non-repetitive peak forward off-state voltage	$t_{vj} = -40^\circ\text{C} \dots t_{vj \max}$		V_{RSM}	900, 1100, 1200, 1300, 1400 V
Rückwärts-Stoßspitzenperrspannung	non-repetitive peak reverse voltage	$t_{vj} = +25^\circ\text{C} \dots t_{vj \max}$		I_{TRMSM}	700 A
Durchlaßstrom-Grenzeffektivwert	RMS on-state current			I_{TAVM}	335 A
Dauergrenzstrom	average on-state current	$t_c = 85^\circ\text{C}$ $t_c = 68^\circ\text{C}$			445 A
Stoßstrom-Grenzwert	surge current	$t_{vj} = 25^\circ\text{C}, t_p = 10 \text{ ms}$ $t_{vj} = t_{vj \max}, t_p = 10 \text{ ms}$		I_{TSM}	11,3 kA
Grenzlastintegral	I^2t -value	$t_{vj} = 25^\circ\text{C}, t_p = 10 \text{ ms}$ $t_{vj} = t_{vj \max}, t_p = 10 \text{ ms}$		I^2t	$638 \cdot 10^{-3} \text{ A}^2\text{s}$ $500 \cdot 10^{-3} \text{ A}^2\text{s}$
Kritische Stromsteilheit	critical rate of rise of on-state current	$\text{DIN IEC 747-6, } f = 50 \text{ Hz}$ $I_{GM} = 1 \text{ A}, di_G/dt = 1 \text{ A}/\mu\text{s}$		$(di_T/dt)_{cr}$	200 A/ μs
Kritische Spannungssteilheit	critical rate of rise of off-state voltage	$t_{vj} = t_{vj \max}, V_D = 0,67 V_{DRM}$ 6.Kennbuchstabe/6th letter B 6.Kennbuchstabe/6th letter C 6.Kennbuchstabe/6th letter L 6.Kennbuchstabe/6th letter M		$(dv_D/dt)_{cr}$	2) 3) 50 V/ μs 500 V/ μs 500 V/ μs 1000 V/ μs
Charakteristische Werte		Characteristic values			
Durchlaßspannung	on-state voltage	$t_{vj} = t_{vj \max}, i_T = 1300 \text{ A}$		v_T	max. 1,85 V
Schleusenspannung	threshold voltage	$t_{vj} = t_{vj \max}$		$V_{T(TO)}$	1,15 V
Ersatzwiderstand	slope resistance	$t_{vj} = t_{vj \max}$		r_T	0,42 m Ω
Zündstrom	gate trigger current	$t_{vj} = 25^\circ\text{C}, V_D = 12 \text{ V}$		I_{GT}	max. 250 mA
Zündspannung	gate trigger voltage	$t_{vj} = 25^\circ\text{C}, V_D = 12 \text{ V}$		V_{GT}	max. 2,2 V
Nicht zündender Steuerstrom	gate non-trigger current	$t_{vj} = t_{vj \max}, V_D = 12 \text{ V}$ $t_{vj} = t_{vj \max}, V_D = 0,5 V_{DRM}$		I_{GD}	max. 10 mA max. 5 mA
Nicht zündende Steuerspannung	gate non-trigger voltage	$t_{vj} = t_{vj \max}, V_D = 0,5 V_{DRM}$		V_{GD}	max. 0,25 V
Haltestrom	holding current	$t_{vj} = 25^\circ\text{C}, V_D = 12 \text{ V}, R_A = 10 \Omega$		I_H	max. 250 mA
Einraststrom	latching current	$t_{vj} = 25^\circ\text{C}, V_D = 12 \text{ V}, R_{GK} >= 10 \Omega$		I_L	max. 1000 mA
Vorwärts- und Rückwärts-Sperrstrom		forward off-state and reverse current	$t_{vj} = t_{vj \max}$ $V_D = V_{DRM}, V_R = V_{RRM}$	i_D, i_R	max. 100 mA
Zündverzug	gate controlled delay time	$DIN IEC 747-6, t_{vj} = 25^\circ\text{C}$ $i_{GM} = 1 \text{ A}, di_G/dt = 1 \text{ A}/\mu\text{s}$		t_{gd}	max. 1,5 μs
Freiwerdezeit	circuit commutated turn-off time	$t_{vj} = t_{vj \max}, i_{TM} = I_{TAVM}$ $V_{RM} = 100 \text{ V}, V_{DM} = 0,67 V_{DRM}$ $-di_T/dt = 20 \text{ A}/\mu\text{s}$ $dv_D/dt = 6 \text{ Kennbuchstabe/6th letter}$		t_q	
Isolations-Prüfspannung	insulation test voltage	RMS, $f = 50 \text{ Hz}, 1 \text{ min.}$		V_{ISOL}	3 kV
Thermische Eigenschaften		Thermal properties			
Innerer Wärmewiderstand	thermal resistance, junction to case	pro Modul/per module, $\Theta = 180^\circ \sin R_{thJC}$ pro Modul/per module, $\Theta = 180^\circ \sin R_{thCK}$		max. 0,0800 max. 0,0765 max. 0,02	$^\circ\text{C/W}$ $^\circ\text{C/W}$ $^\circ\text{C/W}$
Übergangs-Wärmewiderstand	thermal resistance, case to heatsink	pro Modul/per module			
Höchstzul. Sperrsichttemperatur	max. junction temperature	$t_{vj \max}$			125 $^\circ\text{C}$
Betriebstemperatur	operating temperature	$t_c \text{ op}$			-40...+125 $^\circ\text{C}$
Lagertemperatur	storage temperature	t_{slg}			-40...+130 $^\circ\text{C}$
Mechanische Eigenschaften		Mechanical properties			
Gehäuse, siehe Seite	case, see page				
Si-Elemente mit Druckkontakt	Si-pellet with pressure contact				
Innere Isolation	internal insulation				A1N
Anzugsdrehmoment	für mounting torque	Toleranz/tolerance +/- 15%	M1	5	Nm
mechanische Befestigung					
Anzugsdrehmoment für elektrische terminal connection torque		Toleranz/tolerance +5%/-10%	M2	12	Nm
Anschlüsse	weight		G	typ.	900 g
Gewicht	creepage distance				15 mm
Kriechstrecke	vibration resistance	$f = 50 \text{ Hz}$			50 m/ s^2

¹⁾ 1300 V auf Anfrage / 1300 V on demand

²⁾ Werte nach DIN IEC 747-6 (ohne vorausgehende Kommutierung) / Values according to DIN IEC 747-6 (without prior commutation)

³⁾ Unmittelbar nach der Freiwerdezeit, vgl. Meßbedingungen für t_q . / Immediately after circuit commutated turn-off time, see parameters for t_q .

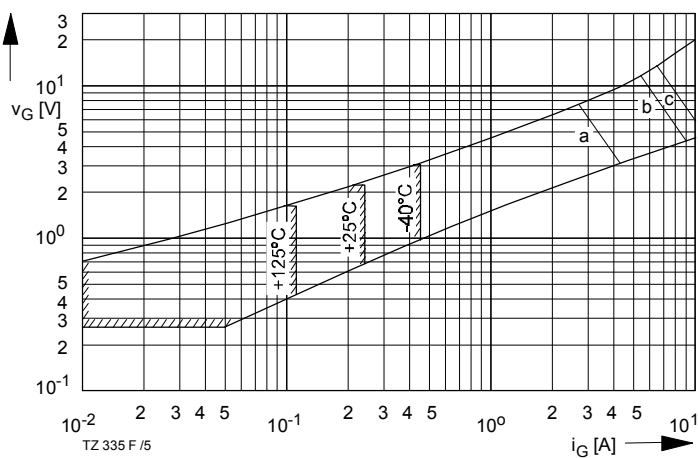


Bild / Fig. 1

Steuercharakteristik $v_G = f(i_G)$ mit Zündbereich für $V_D = 12V$
Gate characteristic $v_G = f(i_G)$ with triggering area for $V_D = 12V$
Höchstzulässige Spitzesteuerverlustleistung / Maximum rated peak gate power dissipation $P_{GM} = f(t_g)$:
a - 20W/10ms b - 40W/1ms c - 60W/0.5ms

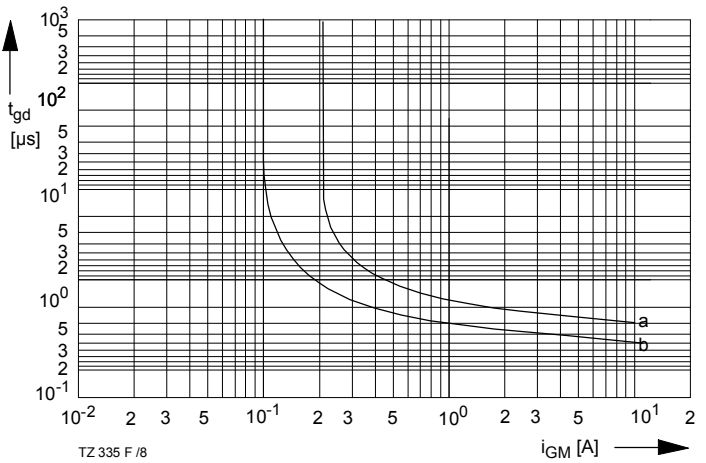


Bild / Fig. 2

Zündverzug / Gate controlled delay time $t_{gd} = f(i_{GM})$
 $t_{vj} = 25^\circ C$, $di_G/dt = i_{GM}/1\mu s$
a - maximaler Verlauf / limiting characteristic
b - typischer Verlauf / typical characteristic

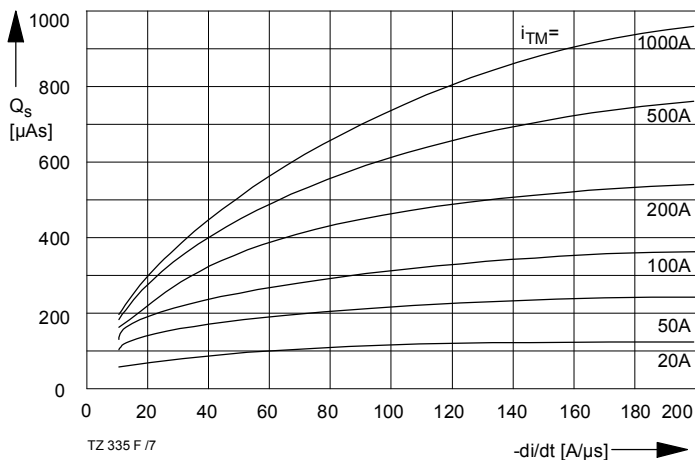


Bild / Fig. 3

Sperrverzögerungsladung Q_s in Abhängigkeit von der abkommunizierenden Stromsteilheit $-di/dt$ bei $t_{vj} = t_{vj \max}$, $V_R = 0,5 V_{RRM}$, $V_{RM} = 0,8 V_{RRM}$
Recovered charge Q_s versus the rate of decay of the forward on-state current $-di/dt$ at $t_{vj} = t_{vj \max}$, $V_R = 0,5 V_{RRM}$, $V_{RM} = 0,8 V_{RRM}$
Parameter: Durchlaßstrom i_{TM} / On-state current i_{TM}

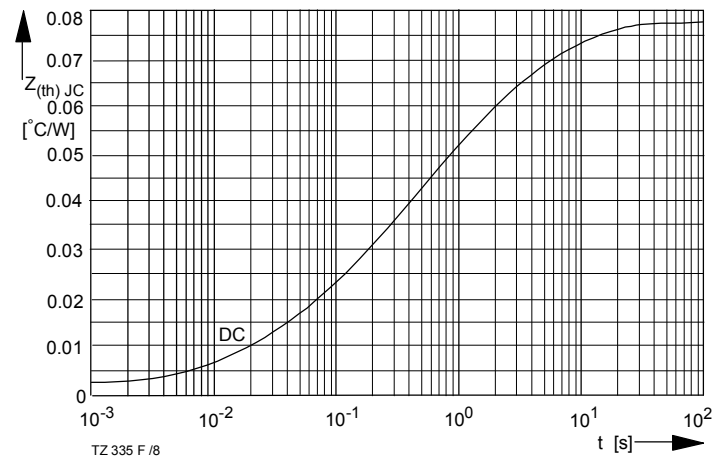


Bild / Fig. 4

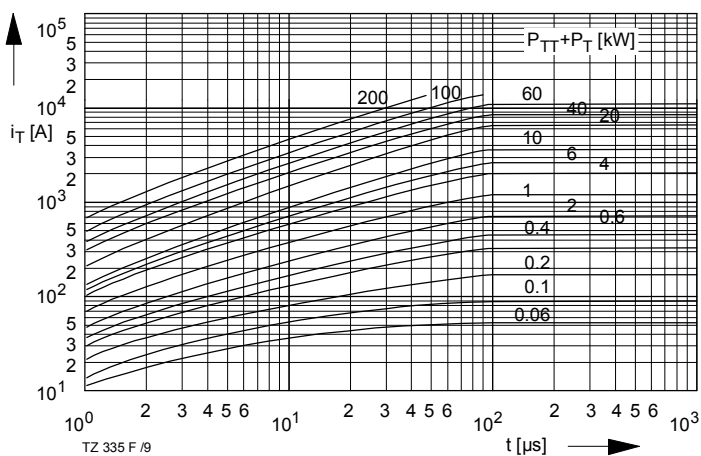
Transienter innerer Wärmewiderstand / Transient thermal impedance $Z_{(th)JC} = f(t)$

Analytische Elemente des transienten Wärmewiderstandes Z_{thJC} pro Zweig für DC
Analytical elements of transient thermal impedance Z_{thJC} per arm for DC

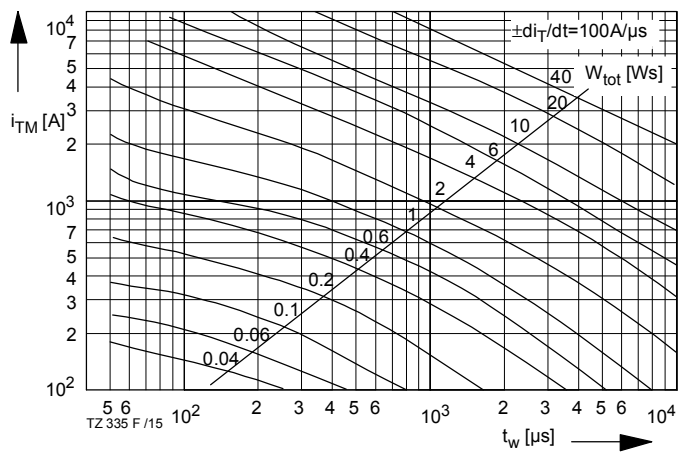
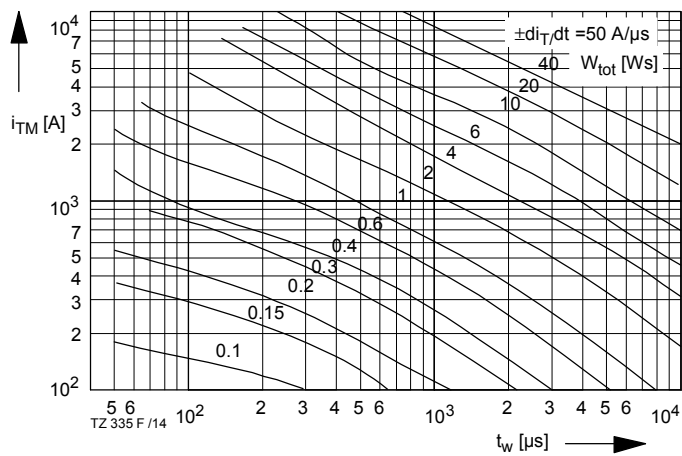
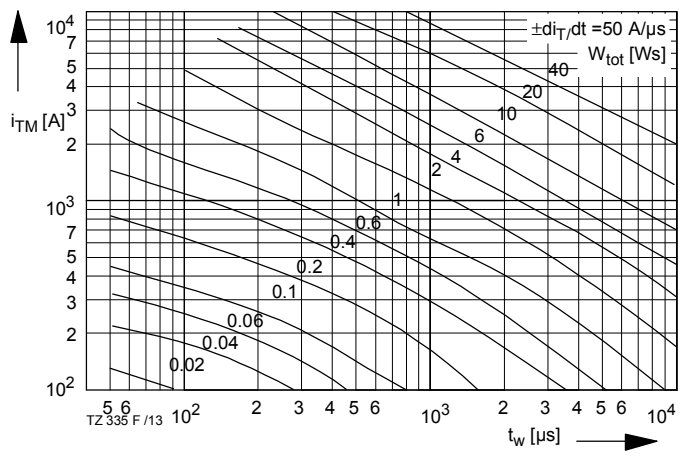
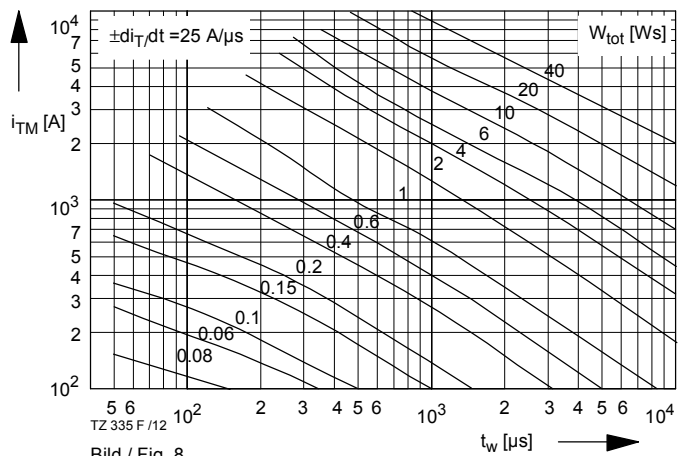
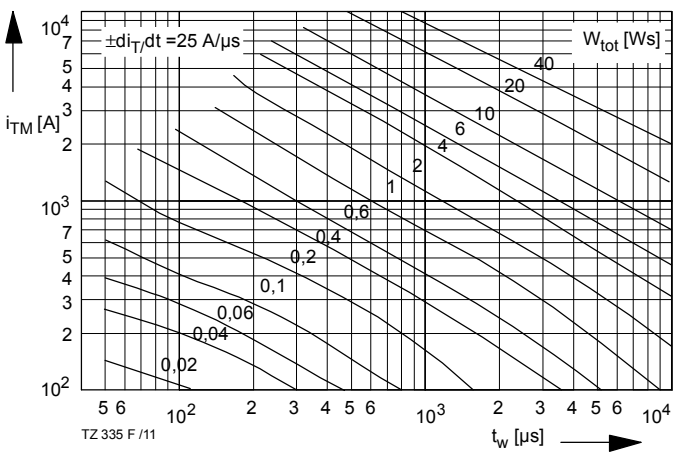
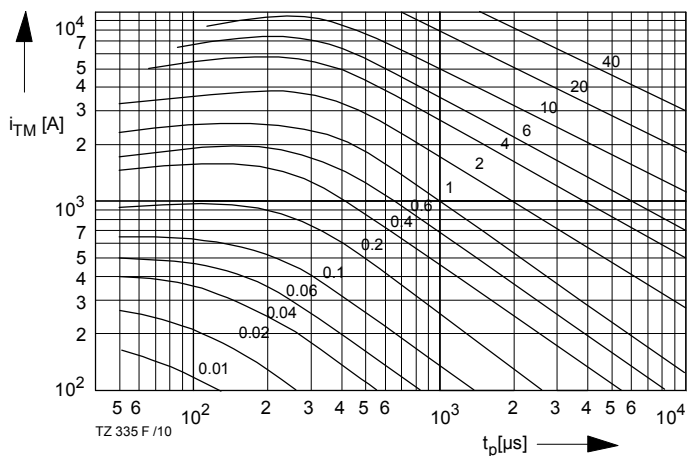
Pos. n	1	2	3	4	5	6	7
$R_{thn} [^\circ C/W]$	0,00194	0,00584	0,1465	0,0254	0,0287		
$\tau_n [s]$	0,000732	0,00824	0,108	0,57	3		

Analytische Funktion / Analytical function:

$$Z_{thJC} = \sum_{n=1}^{n_{\max}} R_{thn} (1 - e^{-\frac{t}{\tau_n}})$$

Bild / Fig. 5
EDL-Diagramm / EDL-diagramm

Summe aus Einschalt- und Durchlaßverlustleistung $P_{TT}+P_T$ /
Sum of the turn-on and on-state power loss $P_{TT}+P_T$



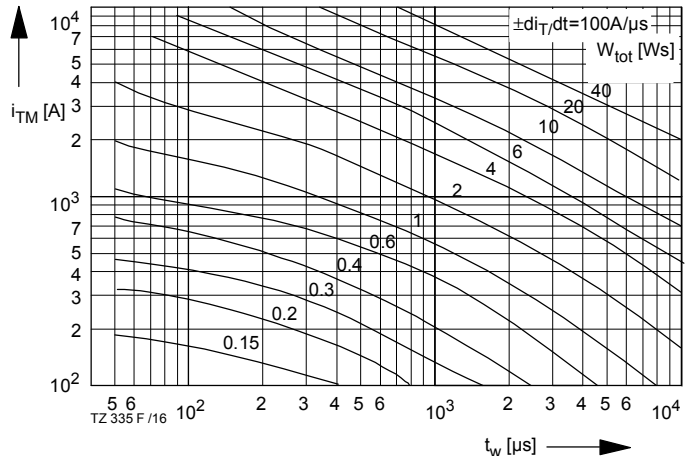
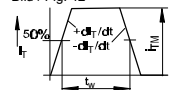


Bild / Fig. 12



Lastkreis /Load circuit:
 $V_{\text{DM}} \leq 67\% V_{\text{DRM}}$
 $V_{\text{RM}} \leq 67\% V_{\text{RRM}}$
 $dv_R/dt \leq 600 \text{ V}/\mu\text{s}$

RC-Glied/RC-network: Steuergenerator /
Pulse generator:
 $R[\Omega] \geq 0,02 * v_{\text{DM}} [\text{V}]$ $i_G = 1 \text{ A}$
 $C \leq 0,33 \mu\text{F}$ $di_G/dt = 1 \text{ A}/\mu\text{s}$

EDP-Diagramm /EDP-diagram
Gesamtenergie W_{tot} je Durchlaßstromplus /
Total energy W_{tot} per on-state current pulse